

国内ワーキングスタンダード候補試料OGPKについて

檀原 徹・山下 透・岩野英樹（㈱京都FT）

I.U.G.Sサブコミッショングループの勧告により、ジルコンを対象とした応用的なFT年代測定においてはzeta法のみが推奨されることになった(Hurford, 1990)。zeta法(比較法)の主旨にしたがえば、標準年代試料と未知試料は可能な限り同じ性格を有していることが望まれる。

研究史的にみれば、我国のFT法はその研究目的が第四系(0~2 Ma)試料の年代測定をいかにして行うかにあったと言っても過言ではない。以後20数年を経た現在でも第四系を含む“若い”年代測定の必要性は高く、また測定者人口も多い。

しかし現時点における年代標準試料は Buluk Member Tuff(Hurford and Watkins, 1987)の 16.2 ± 0.2 Maが最も若く、第三系上部~第四系における年代標準試料は確立されていない。この年代領域には、zeta法適用に大きな空白が存在するのである。我々は早急にこの穴を埋める必要がある。

手始めに、約1 Maの年代標準試料の候補として、日本の代表的鮮新・更新統である大阪層群中の鍵層ピンク火山灰(OGPK)を推奨したい。本火山灰は横山・楠木(1969)や吉川(1976), Yoshikawa(1984)などに層準と岩石記載的特性の詳細な記載があり、大阪層群中でも主要鍵層の1つである。分布は広く、最近の未公表dataから四国から東海地方までの広域に分布する、文字通りの広域テフラであることが示唆されてきている。岩層は典型的なガラス質火山灰で、分布の各所で30~50cm程度の層厚をもち、岩石記載的特性が非常に均質であることが知られている。やや細粒ながら均質で豊富なジルコンを含有する。

以下に標準年代試料としてのその特徴を示した。唯一他の放射年代が得られていないことがスタンダードの条件を満たさないが、今後、火山ガラスや角閃石を抽出しK-Ar測定等を行っていく予定である。

OGPKのワーキングスタンダードとしての長所・短所

長 所	短 所
地質層序が確立	他の放射年代でサポートなし
層位明確	やや粒径が小さい
テフラの識別容易 (たとえsiteが変わっても多くの地点で今後も採取可能)	air fall tuffである (潜在的コントaminationの恐れあり)
採取地が都市近郊で採取が容易	自発トラック密度低い
古地磁気層序が確立 (Jaramillo event層準)	U-content低い
広域テフラの可能性大	
ジルコンを比較的多く含有 (#60以下で10mg/1kg含有)	
ジルコンは均質	
ジルコンにinclusion少ない (ED1・ED2・Re-etch可能)	
ディスロケーション少ない	
外部効果ない(無視できる)	
1 Maのスタンダード	

配布した試料について

試料名：ピンク火山灰(OGPK)

層 準：大阪層群Ma1直上, Jaramillo Event層準

採取地：大阪府堺市別所(34° 26' 37" N, 135° 30' 26" E)

環状高速鉄道光明池駅より南東4km地点

採取者：檀原 徹・山下 透・岩野英樹・林田 明

採取日：1990年10月27日

参考文献

Harland, W.B., Armstrong, R.L., Cox, A.V., Craig, L.E., Smith, A.G. and Smith, D.G. (1989): A geologic time scale 1989. Cambridge: Cambridge University Press, 263pp.

Itihara, M., Yoshikawa, S., Inoue, K., Hayashi, T., Tateishi, M.

and Nakajima, K. (1975): Stratigraphy of the Pli-Pleistocene Osaka Group in Sennan-Senpoku Area, South of Osaka, Japan. Jour. Geosci. Osaka City Univ., 19, 1-29.

市川 実・吉川周作・川辺孝幸・三田村宗樹(1984): 岸和田市津田川流域のいわゆる“芝の不整合”について－大阪層群の古地磁気層序とフィッショング・トランク年代－. 地球科学, 38, 1-16.

兼岡一郎(1984): K-Ar法による火山灰類の年代測定とその問題点. 古文化財編集委員会編『古文化財の自然科学的研究』同朋舎, 856-864.

Maenaka, K., Yokoyama, T. and Ishida, S. (1977): Paleomagnetic stratigraphy and biostratigraphy of the Pli-Pleistocene in Kinki district, Japan. Quaternary Research, 7, 341-362.

日本の地質『近畿地方』編集委員会編(1987): 日本の地質 6 近畿地方 共立出版, 296pp.

Yokoyama, T. (1969): Tephrochronology and paleogeography of the Pli-Pleistocene in the Eastern Setouchi geologic province, southwest Japan. Mem. Fac. Sci., Kyoto Univ., Geol. Mineral., 36, 19-85.

横山卓雄(1972): 火山ガラスの特徴による火山灰識別, とくに火山ガラス中に含まれるチタン量の相異について. 第四紀, 11, 247-253.

横山卓雄(1989): 大阪府泉佐野市沖の海底ボーリング・コアの残留磁気測定および火山灰分析結果から知られる更新統の層序と年代. 地質雑, 95, 277-295.

横山卓雄・檀原 徹・中川要之助(1984): 大阪府南部地域の第四系・第三系中の火山灰層のフィッショング・トランク年代. 地質雑, 90, 781-798.

横山卓雄・楠木幹浩(1969): 鍵層としての火山灰層, とくに大阪層群の火山灰について. 同志社大学理工研究報告, 9, 270-305.

横山卓雄・林田 明(1980): 大阪層群の古地磁気層序研究の現状と問題点. 九十九地学, No. 13, 68-76.

吉川周作(1976): 大阪層群の火山灰層について. 地質雑, 82, 497-515.

吉川周作(1978): 大阪層群火山灰層中の火山ガラスの化学組成について. 地質雑, 82, 497-515.

Yoshikawa, S. (1984): Volcanic ash Layers in the Osaka and Kobiwako Groups, Kinki District, Japan. J. Geosci. Osaka City Univ., 27, 1-40.

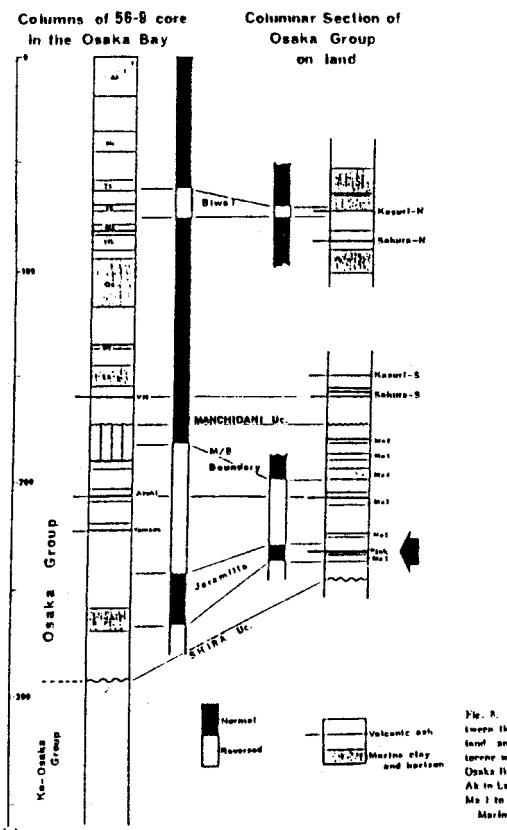


Fig. 8. Correlation between the Osaka Group on land and the Muin-Pleistocene under the bottom of Osaka Bay.
Akita Ito (see Fig. 2).
Ma 1 to Ma 3:

楊山東雄 (1989)

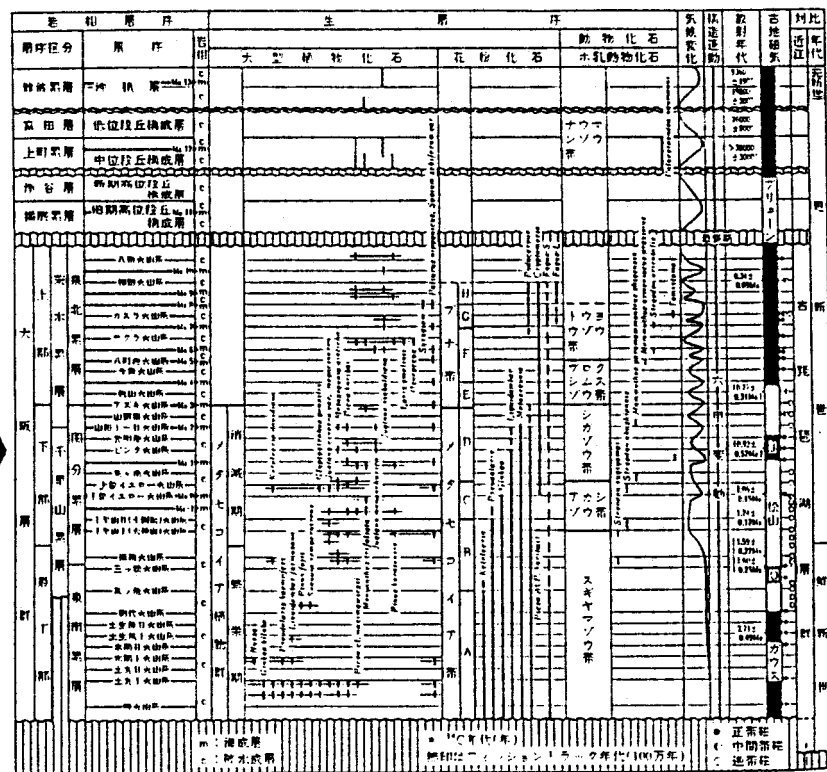


図3.23 大阪層群の地台層序表（市原ほか、1984）

日本地図と近畿地方の地図集成 (1983)

試料名	鉱物名	自発核分裂飛体		誘導核分裂飛体		熱中性子フルエンス			(* 2) 年代値 T	(* 3) 誤差			(* 4) 結晶粒度別回帰係数 r	(* 5) ランダム度 U (ppm)	
		総数	密度 ρ_s $= \Sigma Na / \Sigma S$ (t)	総数	密度 ρ_i $= \Sigma Ni / \Sigma S$ (t)	総数	(* 1) 熱中性子線量 ϕ_{th} (n/cm ²)	(* 1) 熱中性子線量 ϕ_{th} (n/cm ²)		$\pm \sigma_T$	$\pm \sigma_s$	r			
							(Ma)	(Ma)							
Re-etch法															
ビカツ(千振山)	Zircon	19	0.94×10^4	624	3.07×10^5	1149	7.78×10^4	4.85×10^4	0.88	0.21	23.5	35		2.03×10^4	32
ビカツ(京南 BS-21)	Zircon	21	0.13×10^4	776	2.89×10^5	1321	8.92×10^4	5.56×10^4	0.90	0.20	22.3	35		2.88×10^4	24
ビカツ(真弓盆地)	Zircon	14	1.12×10^4	451	3.59×10^5	1224	8.27×10^4	5.15×10^4	0.95	0.26	27.3	35		1.25×10^4	35
ビカツ(PI-93)	Zircon	21	1.25×10^4	594	3.53×10^5	1095	7.70×10^4	4.80×10^4	1.01	0.23	22.4	30		1.58×10^4	37
EDZ															
ビカツ(北千葉藤白台)	Zircon	25	2.89×10^4	723	6.35×10^5	1196	8.08×10^4	5.04×10^4	1.04	0.21	20.5	35		0.87×10^4	83
ビカツ 900714-1	Zircon	26	3.19×10^4	776	8.51×10^5	1197	8.08×10^4	5.03×10^4	1.00	0.20	20.1	30		8.16×10^4	95
ビカツ 900714-2	Zircon	28	2.89×10^4	943	9.72×10^5	1198	8.10×10^4	5.04×10^4	0.89	0.17	18.4	30		9.70×10^4	98
ビカツ 900714-3	Zircon	28	3.69×10^4	729	5.61×10^5	1199	8.10×10^4	5.04×10^4	1.15	0.22	19.5	30		7.59×10^4	95

* 1. ρ_d : 標準ガラスの核分裂トラック密度 (n/cm²)

熱中性子線量測定用標準ガラス : NBS SRM612

* 2. 年代値 $T = 5.98 \times 10^4 \times \phi_{th} \times \Sigma Na / \Sigma Ni - \zeta \times \rho_s \times \rho_d / \rho_i$

^{238}U の自発核分裂密度 : $\lambda f = 7.09 \times 10^{-11}$ (1/yr)

* 3. 誤差 $s = [(1/\sqrt{\Sigma Na})^2 + (1/\sqrt{\Sigma Ni})^2 + (1/\sqrt{\Sigma \rho_i})^2]^{1/2} \times 100$ (%)

熱中性子の U に対する核分裂反応断面積 : $\sigma f = 577 \times 10^{-26}$ (cm²)

* 4. r : 結晶ごとの自発・誘導トラック密度 (ρ_a , ρ_i) の相関係数

^{238}U の ^{235}U に対する同位体比 : $I = 7.253 \times 10^4$ ($^{238}U / ^{235}U$)

* 5. ウラン濃度 $U = 5 \times 10^3 \times \rho_i / \phi_{th}$ (但し、ジルコン結晶でエッチングされる最大飛跡長を12μと仮定する)

B 値 : $B = 6.23 \times 10^7$ ($\phi_{th} = B \times \rho_d$)

ζ (zeta値) : Calibration factor (弊社採用値)

$\zeta = \phi_{th} \times \sigma f \times I / \rho_d \times \lambda f = B \times \sigma f \times I / \lambda f = 371 \pm 6$

表1 各試料ごとのフィッショントラック年代値一覧表

植原ほか未公表データ

ピンク火山灰の放射年代

F T 法, ジルコン

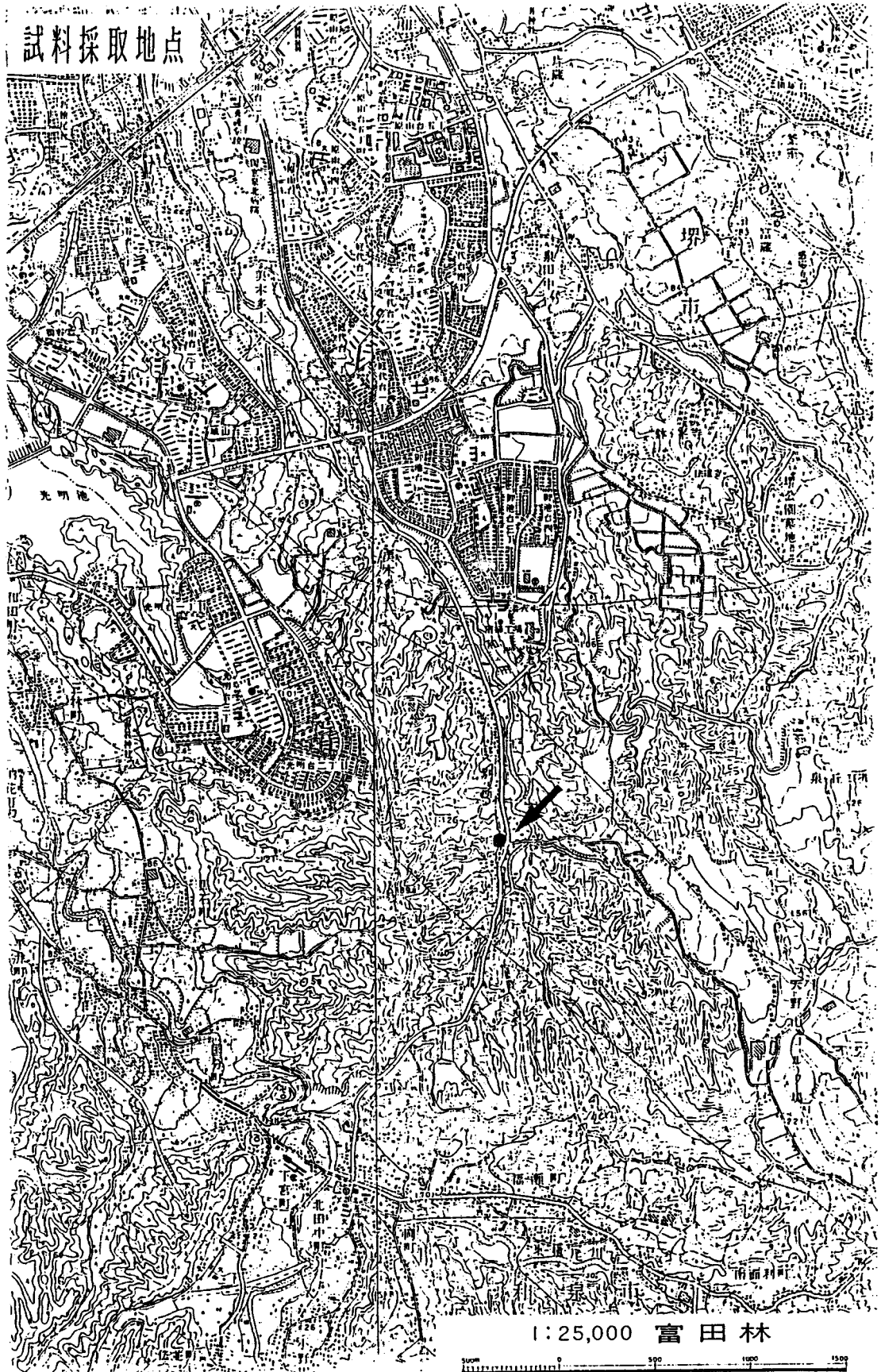
0.92 ± 0.52 Ma 市原ほか(1984)

1.0 ± 0.2 Ma 横山ほか(1984)

K-A r 法, 火山ガラス

2.1 ± 0.5 Ma 兼岡(1984)

試料採取地点



1:25,000 富田林